Journal of Organometallic Chemistry, 281 (1985) 187-204 Elsevier Sequoia S.A., Lausanne - Printed in The Netherlands

LINEARE OLIGOPHOSPHAALKANE

IX *. TERTIÄR-SEKUNDÄRE METHYLENBISPHOSPHANE; NEUE BRÜCKENLIGANDEN UND PHOSPHINIDENQUELLEN IN DER CLUSTERSYNTHESE

DAVID J. BRAUER, SIBBELE HIETKAMP, HERBERT SOMMER und OTHMAR STELZER *

Fachbereich 9, Anorganische Chemie, Bergische Universität - Gesamthochschule Wuppertal, Gaussstr. 20, D-5600 Wuppertal I (Bundesrepublik Deutschland)

(Eingegangen den 19. Juli 1984)

Summary

Methylene-bridged tertiary-secondary phosphanes R_2PCH_2PRH (R=i-Pr, CH_2Ph , Me; Ia–Ic) react with excess diironenneacarbonyl to form the violet-coloured clusters $Fe_3(CO)_9(\mu_2-H)(\mu_2-PRCH_2PR_2)$ (IIIa–IIIc). The crystal structure of the isopropyl derivative shows the Fe_3 -unit capped by the five-electron donor bridge $RP(1)-CH_2-P(2)R_2$ (Fe(1,2)-P(1) 2.1779(8), 2.194(1), Fe(3)-P(2) 2.293(1) Å) while the μ -hydrogen atom is localized between iron atoms Fe(2) and Fe(3). At elevated temperatures, the P-C-P skeleton in IIIa–IIIb is cleaved, leading to PR_2CH_3 -substituted μ_3 -PR clusters $Fe_3(CO)_9(PR_2CH_3)(\mu_3-PR)$ (IVa, IVb) and subsequently to $Fe_3(CO)_{10}(\mu_3-PR)$ (Va, Vb). With $Fe_2(CO)_9$ in a 1/2 molar ratio the phosphanes Ia and Ib under mild pyrolytic conditions form the dihydrido clusters $Fe_3(CO)_8(\mu_2-H)_2(PR_2CH_3)(\mu_3-PR)$ (VIa, VIb) in addition to $Fe(CO)_4(PR_2CH_3)$ and the cluster $Fe_3(CO)_9(\mu_3-PR)_2$ (VIIa, VIIb).

Zusammenfassung

Methylenverbrückte tertiär-sekundäre Phosphane R_2PCH_2PRH (R = i-Pr, CH_2Ph , Me; Ia-Ic) reagieren mit überschüssigem Dieisenenneacarbonyl unter Bildung der violett gefärbten Cluster $Fe_3(CO)_9(\mu_2-H)(\mu_2-PRCH_2PR_2)$ (IIIa-IIIc). Die Kristallstruktur des Isopropylderivates lässt eine durch den Fünfelektronendonor $RP(1)-CH_2-P(2)R_2$ überbrückte Fe_3 -Einheit erkennen (Fe(1,2)-P(1) 2.1779(8), 2.194(1), Fe(3)-P(2) 2.293(1) Å), das μ -Wasserstoffatom ist zwischen den Eisenatomen Fe(2) und Fe(3) lokalisiert. Bei erhöhter Temperatur wird das P-C-P-Skelett in

Mitteilung VIII siehe Lit. 1.

IIIa bzw. IIIb gespalten, wobei zunächst die PR₂CH₃-substituierten μ_3 -PR-Cluster Fe₃(CO)₉(PR₂CH₃)(μ_3 -PR) (IVa, IVb) und anschliessend Fe₃(CO)₁₀(μ_3 -PR) (Va, Vb) gebildet werden. Im stöchiometrischen Verhältnis von 1/2 mit Fe₂(CO)₉ umgesetzt, liefern Ia and Ib unter milden pyrolytischen Bedingungen die Dihydridokomplexe Fe₃(CO)₈(μ_2 -H)₂(PR₂CH₃)(μ_3 -PR) (VIa, VIb) neben Fe(CO)₄-(PR₂CH₃) und Fe₃(CO)₉(μ_3 -PR)₂ (VIIa, VIIb).

Einleitung

Ditertiäre Phosphane mit der Donorsequenz P-C-P können zwei Übergangsmetallatome M in enger Nachbarschaft koordinieren (a) und die Bindung zwischen ihnen (b) stabilisieren [2]. Die P-C-P-Brücke in den Komplexen des Typs a bzw. b stellt einen stabilen Atomverband dar, der sich unter dem Einfluss von Wasserstoff [3] und bei erhöhter Temperatur [4] spalten lässt.

Werden in Komplexen des Typs a oder b anstelle der ditertiären Phosphane $R_2PCH_2PR_2$ sekundär-tertiäre Phosphane R_2PCH_2PRH eingesetzt, so sollte eine Spaltung des P-C-P-Verbandes unter Mitwirkung der PH-Gruppierungen möglich sein. Die 1,2-Verschiebung des Wasserstoffs vom Phosphoratom an das C-Atom der CH_2 -Brücke führt zum Bruch einer P-C-Bindung. Steht ein drittes Metallatom mit seinem Ligandensystem ($\langle M' \rangle$) zur Verfügung, so kann das bei dieser Fragmentierung gebildete Phosphiniden $\langle PR \rangle$ durch Integration in den Clusterverband (c) stabilisiert werden (Gl. 1a). Das funktionalisierte P-C-P-Gerüst in den Komplexen (a) bzw. (b) sollte die Bindung eines dritten Metallatoms $\langle M' \rangle$ jedoch auch durch oxidative Addition [5] an der PH-Gruppierung erlauben. In den resultierenden Clusterverbindungen (d) werden die drei Metallatome durch die formal als Fünfelektronendonatoren fungierenden Phosphido-Phosphanbrücken μ_2 -PRCH₂PR₂ zusammengehalten (Gl. 1b).

Über PH-funktionelle Methylenbisphosphane wurde bisher in der Literatur nur sehr wenig berichtet [6]. Ausgehend von $\text{Cl}_2\text{PCH}_2\text{PCl}_2$ [7] und CH_3PCl_2 gelang uns kürzlich die Synthese einer Reihe von tertiär-sekundären und disekundären Phosphanen R₂PCH₂PHR (R = i-Pr, CH₂Ph, Me) (Ia-Ic) bzw. RHPCH₂PRH (R = i-Pr, t-Bu, Me, CH₂Ph) [8].

Die Umsetzung von Ia-Ic mit Fe₂(CO)₉ sollte die Fähigkeit dieser Liganden aufzeigen, durch oxidative Additionsreaktionen an der PH-Bindung (Gl. 1b) oder Phosphinideneliminierung (Gl. 1a) Clusterbildung zu induzieren.

Eisencluster mit gekoppelten Phosphido-Phosphanbrücken μ_2 -PRCH $_2$ PR $_2$ (R = i-Pr, CH $_2$ Ph, Me) (IIIa-IIIc)

Das tertiär-sekundäre Phosphan (i-Pr)₂PCH₂PH(i-Pr) (Ia) bildet mit Fe₂(CO)₉ im stöchiometrischen Verhältnis 1/2 unter milden Bedingungen den bimetallischen Komplex IIa (Schema 1). In Übereinstimmung mit der vorgeschlagenen Struktur

SCHEMA 1. Reaktionen der tertiär-sekundären Phosphane R₂PCH₂PRH mit Fe₂(CO)₉.

TABELLE 1 ν (CO)-VALENZSCHWINGUNGSFREQUENZEN DER VERBINDUNGEN IIa-VIb (cm⁻¹) (gemessen in n-Hexan)

IIa	2054s	1983m	1945s						
IIIa	2068s	2051ss	2022s		2009s	1988m	1976m	1962m	
IIIb	2068s	2050ss	2029s	2025sh	2008s	1994m	1978w	1965m	
IIIc	2068s	2050ss	2030s		2007s	1995s	1974s	1954m	
IVa	2060s	2012s	1994s	1981s	1963m	1942w			1838w,br
Va	2083m	2040s	2029s	2012s	1996s	1983m	1968m		1866m,br
Vb	2087m	2044s	2031s	2016s	1998s	1984m	1971m	1870m	
VIa	2059m	2015s	2011s	1988s	1970m	1933vw			
VIb	2060m	2017s	1990s	1978m	1935vw				

weist sein Infrarotspektrum keine Banden im Bereich der Brücken-CO-Valenzschwingungsfrequenzen auf (Tab. 1).

Vom ditertiären Phosphan Ph₂PCH₂PPh₂ (dppm) ist ein Eisenkomplex analoger Zusammensetzung bekannt [9]. Unter den Bedingungen der Synthese von IIa liefert dppm jedoch Fe₂(CO)₇-(μ_2 -dppm) mit einer CO-verbrückten Fe-Fe-Bindung [10].

Wird das Phosphan (i-Pr)₂PCH₂PH(i-Pr) (Ia) jedoch mit überschüssigem Fe₂(CO)₉ umgesetzt, so erhält man den intensiv violett gefärbten Fe₃-Cluster IIIa. Ib und Ic reagieren in analoger Weise. Die Bildung von IIIa–IIIc ist mit der oxidativen Addition der PH-Bindung der Phosphanliganden an Fe⁰ unter Mitwirkung der R₂P-Donorgruppierungen verbunden. Die Aggregation der drei Eisenatome läuft über die bimetallischen Komplexe des Typs IIa, die nicht in allen Fällen isoliert werden konnten. Als Zwischenprodukte für den Aufbau der Cluster IIIa–IIIc schlagen wir Phosphidokomplexe des Typs A vor.

Die CH₂-Brücke in A fixiert die Fe(CO)₄(PR₂)-Gruppierung in unmittelbarer Nachbarschaft zur Fe₂P-Einheit—eine wichtige Voraussetzung für die Bildung der Cluster IIIa-IIIc durch Knüpfung weiterer Fe-Fe-Bindungen.

Es ist daher verständlich, dass Phosphane mit grösserem Abstand der Donoratome, z.B. R₂P(CH₂)₂PRH, nicht zur Bildung von Clustern des Typs IIIa-IIIc in der Lage sind [11].

Oxidative Additions-Eliminations-Reaktionen einzähniger primärer oder sekundärer Phosphanliganden sind schon seit einiger Zeit bekannt [5,12]. Die

TABELLE 2

31P-NMR-DATEN DER VERBINDUNGEN IIa-VIIIb (δ (ppm); in CH₂Cl₂, rel. 85% H₃PO₄ extern)

	δ(P(A))		δ(P(B))	² J(PP)	
				(Hz)	
IIa	84.9		26.5	21.0	
				358 (¹ J(PH))	
IIIa	55.2		189.5	79.2	
IIIb	8.9		151.3	103.0	
IIIc	29.2		166.5	109.2	
IVa	46.2		484.1	7.1	
IVb	40.7		455.8	10.1	
Va			502.1		
Vb			483.4		
VIa	57.4		434.5	32.4	
Vlb	34.5		420.9	36.0	
VIIa		366.4			
VIIb		340.9			
VIIIa		68.8			
VIIIb		58.7			

TABELLE 3 13 C $\{^{1}$ H $\}$ -NMR- und 1 H-NMR-SPEKTROSKOPISCHE DATEN DER VERBINDUNGEN IIIa-VIIIb (Chemische Verschiebungen δ (ppm) rel. zu TMS intern. Kopplungskonstanten in Hz)

		¹³ C(¹ H)-NMR	¹H-NMR
IIa ^a	PR ₂ ^b	18.9, CH ₃ , s	1.21, dd, ³ J(HH) 7.2, ³ J(PH) 15.6
	_	18.6, CH ₃ , d, ² J(PC) 1.8	
		28.7, CH, dd, ¹ J(PC) 13.5, ³ J(PC) 4.8	2.17, m, ³ J(HH) 7.2, ³ J(PH) 7.2
	PR	21.2, CH ₃ , d, ² J(PC) 3.6	1.44, dd, ${}^{3}J(HH)$ 6.9, ${}^{3}J(PH)$ 16.0
		24.6, CH, dd, ¹ J(PC) 19.8, 11.3	2.1, m
	CH_2	37.9, dd, ¹ J(PC) 17.7, ³ J(PC) 12.0	2.71, ddd, ² J(PH) 13.6, 10.8,
	2	, (,,,,	⁴ J(H–H(Fe)) 1.1
	co	213.6, t, ² J(PC) 1.5	3(11-11(1 c)) 1.1
	CO	212.9, t, ² J(PC) 3.2	
	Fe-H	212.9, t, 3(1 C) 3.2	-22.5 , dd, ${}^{2}J(PH)$ 28.0, ${}^{3}J(PH)$ 17.5
IIb °		35.2 bis 36.5	3.2, d, ${}^{2}J(PH)$ 7.3
110	PR_2	33.2 dis 30.3	3.3, d, ² J(PH) 7.3
	PR	440 11 17/00/140 101	
	CH_2	44.8, dd, ¹ J(PC) 14.2, 10.1	2.67, dd, ² J(PH) 14.2, 10.7
	CO	212.3, d, ² J(PC) 1.8	7.21: 7.4
	Ph		7.3 bis 7.6
	Fe-H	40.5 GV 41.1vng 40.5 3vng 54	-23.1 , dd, ${}^{2}J(PH)$ 30.0, ${}^{3}J(PH)$ 13.9
Hc ^c	PR_2	19.5, CH ₃ , dd, ¹ J(PC) 18.7, ³ J(PC) 7.1	1.82, d, ${}^{2}J(PH)$ 9.1
	PR	24.6, CH ₃ , dd, ¹ J(PC) 19.5, ³ J(PC) 13.9	1.82, d, ${}^{2}J(PH)$ 10.7
	CH_2	47.8, dd, ¹ J(PC) 24.8, 21.7	3.80, ddd, ² J(PH) 14.6, 9.9,
			$^{4}J(H-H(Fe)) 0.9$
	CO	212.2, d, ² J(PC) 2.4	
	Fe-H		-19.0 , dd, ${}^{2}J(PH)$ 49.6, ${}^{3}J(PH)$ 6.7
Va ^c	PR	23.8, CH ₃ , s	1.94, dd, ³ J(PH) 20.5, ³ J(HH) 7.3
		34.4, CH, d, ¹ J(PC) 6.1	4.16, m, ${}^{2}J(PH)$ 7.6, ${}^{3}J(HH)$ 7.3
	PR_2CH_3		1.08, dd, ${}^{3}J(HH)$ 7.3, ${}^{3}J(PH)$ 17.3
	2 3	16.6, CH ₃ , d, ² J(PC) 2.0	1.18, dd, ³ J(HH) 7.1, ³ J(PH) 14.4
		27.7, CH, d, ¹ J(PC) 26.0	2.31, m, ² J(PH) 7.0, ³ J(HH) 7.0
	PR_2CH_3		1.28, d, ² J(PH) 8.5
	co	216.7, s	-1, -, - (, -1)
/a ^c	PR	23.2, CH ₃ , s	1.93, dd, ³ J(HH) 7.4, ³ J(PH) 21.2
		35.3, CH, d, ¹ J(PC) 7.8	4.28, m, ³ J(HH) 7.4, ² J(PH) 6.7
	CO	212.0, d, ² <i>J</i> (PC) 1.0	
/b ^a	PR	37.6, CH ₂ , d, ¹ J(PC) 14.8	5.18, d, ² J(PH) 9.7
	Ph	5710, C112, u, V(1 C) 1 110	7.34–7.62
	CO	212.2, d, ² J(PC) 1.0	7.54-7.02
/Ia ^a	PR	24.3, CH ₃ , s	1.89, dd, ³ J(HH) 7.02, ³ J(PH) 20.3
, 14	110	34.2, CH, d, ¹ J(PC) 2.6	4.04, m, ³ J(HH) 7.0, ² J(PH) 6.9
	DD CU	17.3, CH ₃ , d, ² J(PC) 1.0	1.21, dd, ³ J(HH) 7.0, ³ J(PH) 14.3
	r K ₂ CH ₃	17.5, CH ₃ , d, 3(FC) 1.0 17.6, CH ₃ , d, ² J(PC) 2.2	
		28.2, CH, d, ¹ J(PC) 23.9	1.24, dd, ³ J(HH) 7.0, ³ J(PH) 16.0
	DD CII		2.35, m, ³ J(HH) 7.1, ² J(PH) 7.1
	PR_2CH_3		1.30, d, ² J(PH) 8.1
	co	212.5, s	
	Eo II	209.8, dd, ² J(PC) 11.7, 9.4	22.0 44.27/010 20.0 24.4
7T1.	Fe-H		-23.9, dd, ² J(PH) 28.8, 24.6
/Ib	PR		4.8, CH ₂ , dd, ² J(PH) 12.8, ⁴ J(PH) 2
	PR ₂ CH ₃		3.4, CH ₂ , dd, ² J(PH) 9.9, ² J(HH) 1-
	nn		3.2, CH ₂ , dd, ² J(PH) 6.5, ² J(HH) 1
	PR_2CH_3		1.4, d, ² J(PH) 7.9
	PR_2, PR		7.1–7.8, Ph, m

TABELLE 3 (Fortsetzung)

	¹³ C{ ¹ H}-NMR	¹ H-NMR
VIIIa	PR ₂ CH ₃ 17.9, CH ₃ , d, ² J(PC) 12.7	1.3, dd, ³ J(PH) 17.2, ³ J(HH) 7.2
	28.8, CH, d, ¹ J(PC) 27.3	1.2, dd, ³ J(PH) 15.3, ³ J(HH) 7.2
		2.2, m, ${}^{2}J(PH)$ 7.4, ${}^{3}J(HH)$ 7.2
	PR_2CH_3 11.5, d, ${}^{1}J(PC)$ 27.2	1.4, d, ${}^{2}J(PH)$ 9.0
	CO 214.2, d, ${}^{2}J(PC)$ 18.4	
VIIIb	PR ₂ CH ₃	3.2, CH_2 , d, $^2J(PH)$ 9.7
		7.1–7.5, Ph, m
	PR_2CH_3	1.4, CH_3 , d, $^2J(PH)$ 9.4
	2 3	

^a Lösungsmittel CD_2Cl_2 . ^b d = Dublett, dd = Dublett von Dubletts, t = Triplett, m = Multiplett, s = Singulett. ^c Lösungsmittel $CDCl_3$.

Bildung von Clustern ist dabei häufig von der Eliminierung von Wasserstoff begleitet. Diese kann bei der Umsetzung der primären Phosphane mit den Clustercarbonylen $Fe_3(CO)_{12}$ bzw. $Os_3(CO)_{12}$ durch geeignete Wahl der Reaktionsbedingungen zurückgedrängt werden. Es lassen sich dann die phosphidoverbrückten Hydridocluster, z.B. $Fe_3(CO)_9(\mu_2\text{-H})_2(\mu_3\text{-RP})$ [13] bzw. $Os_3(CO)_{10}(\mu_2\text{-H})(\mu_2\text{-PRH})$ [14] isolieren.

Die intensiv violett gefärbten Cluster IIIa–IIIc zeigen $^{31}P\{^{1}H\}$ -NMR-Spektren vom Typ AB mit den für μ_2 -Phosphido- [15] bzw. Fe-PR₂-Gruppierungen [15] typischen Werten der chemischen Verschiebung $\delta(P)$ (Tab. 2).

Die ¹H-NMR-Signale für die eisenständigen H-Atome sind durch die Kopplung ¹H-³¹P(A) und ¹H-³¹P(B) in Dubletts von Dubletts aufgespalten (Tab. 3). Pseudoasymmetrieeffekte [16] führen in IIIa zur chemischen Inäquivalenz der Me-Gruppen der an Phosphoratom A gebundenen i-Pr-Reste. Man beobachtet daher im ¹³C{¹H}-NMR-Spektrum eine Verdopplung des Liniensatzes (Tab. 3) (zwei Dubletts mit geringfügig verschiedenen Aufspaltungen ²J(PC)). Die Me-Gruppen des mit P(B) verknüpften Isopropylrestes ergeben dagegen nur ein Dublett im ¹³C{¹H}-NMR-Spektrum. Sie sind enantiotop und zeigen damit eine zum P-C-P-Skelett symmetrische Anordnung der Eisenatome, des Wasserstoffs und von CO, bzw. rasch zur Zeitskala des NMR-Experiments verlaufende Ligandenaustauschprozesse (H, CO) an. Die beiden i-Pr-Reste an P(A) sind unter diesen Voraussetzungen isochron. Durch Spiegelung an der durch P(1), C(10), P(2) und Fe(3) aufgespannten Ebene lassen sie sich ineinander überführen.

Die den CH_2 -Brücken von IIIa-IIIc zugeordneten 1H - bzw. $^{13}C\{^1H\}$ -NMR-Signale sind durch die $^1H-^{31}P$ -bzw. $^{13}C-^{31}P$ -Spin-Spin-Wechselwirkung mit den Phosphoratomen A und B in Dubletts von Dubletts aufgespalten. Die Kopplung $H(Fe)-H(CH_2)$ ($^4J(H-H)$) führt im 1H -NMR-Spektrum von IIIa and IIIc zur Dublettfeinaufspaltung jeder der vier Linien.

Die hochaufgelösten Massenspektren der Cluster IIIa und IIIc zeigen die den Molekülionen entsprechenden Peaks und lassen die stufenweise Abspaltung von bis zu neun CO-Gruppen erkennen. Für IIIb wird als Peak höchster Masse 742 $(M^+ - CO)$ beobachtet.

Röntgenstrukturanalyse von IIIa

Die Bildung von Clustern mit μ_2 -PRCH₂PRR'-Brücken ist eine für PH-funktionelle Methylenbisphosphane typische Reaktion mit überschüssigem

 $Fe_2(CO)_9$. Wie im Rahmen eigener Arbeiten gezeigt werden konnte, reagieren di-sekundäre und primär-sekundäre Phosphane, RHPCH₂PRH und RHPCH₂PH₂, in analoger Weise zu Fe₃-Clustern mit der als Fünfelektronendonor fungierenden μ_2 -PRCH₂PR"H-Brücke (R" = R, H) [17,18].

Zur Absicherung der Struktur dieses neuen Clustertyps führten wir eine Röntgenstrukturanalyse an einem repräsentativen Beispiel (IIIa) durch. Die Ergebnisse sind in Tab. 4–8 und Fig. 1 zusammengefasst.

In den Kristallen von IIIa liegen Fe₃-Cluster vor, die durch Van der Waals-Kräfte zusammengehalten werden. Die μ_2 -P(i-Pr)CH₂-Gruppe überbrückt symmetrisch die Fe(1)-Fe(2)-Kante, jedoch wird für das gesamte Molekül C_s -Symmetrie nicht erreicht, da sich μ -H nicht über der Fe(1)-Fe(2)-Kante gegenüber P(1), sondern im Bereich zwischen Fe(2) und Fe(3) befindet. Die H-Brücke lässt den Fe(2)-Fe(3)-Abstand erwartungsgemäss anwachsen [19]. Mit 2.7993(7) Å ist er 0.100(1) bzw. 0.119(4) Å länger als die kürzeste Fe-Fe-Bindung in IIIa bzw. die beiden nicht-Coüberbrückten Fe-Fe-Bindungen im Fe₃(CO)₁₂ [20]. Diese Bindungen im Fe₂(CO)₉ sind jedoch auch noch kürzer als die Bindung Fe(1)-Fe(3) in IIIa. Die Fe-H-Abstände in IIIa sind mit denen in Fe₃(CO)₉(CH₃CNH)(H) (B) (1.71(3) Å) [21] und Fe₃(CO)₉(CH₃HCN)(H) (C) (1.65(6) Å) [22] zu vergleichen. Die Fe-H-Fe-Winkel in den letztgenannten Verbindungen, 107(2) bzw. 103(2)°, sind kleiner als in IIIa. Hier liegt das μ -H-Atom nicht genau in der Ebene durch Fe(1), Fe(2), Fe(3), sondern 0.37(5) Å in Richtung auf P(1), P(2) verschoben, um die Wechselwirkung mit C(8) und C(6) zu minimalisieren (Fig. 1).

TABELLE 4 KRISTALLDATEN FÜR IIIa

Formel	C ₁₉ H ₂₄ Fe ₃ O ₉ P ₂
Kristallsystem	monoklin
Raumgruppe	$P2_1/c$
Systematische Auslöschungen	h0ll = 2n, 0k0 k = 2n
gemessene Oktanten	hkl, hkl
a	8.858(3) Å
b	16.391(6) Å
<i>c</i>	18.526(5) Å
β	104.22(2)°
V	2607.6 Å^3
Z	4
$d_{\rm c}$	$1.594 \mathrm{g cm^{-3}}$
T	20°C
$\lambda(\text{Mo-}K_{\alpha})$	0.71073 Å
θ-Bereich	4–50°
Scan-Technik	ω -2 θ
Scan-Breite (2θ)	1.90-2.12°
Scan-Geschwindigkeit (2θ)	3.93°/min
gemessene Reflexe	4630
unabhängige Reflexe	4037
beobachtete Reflexe $ F_0 \ge 4\sigma(F_0)$	3128
Gewichtung	$[\sigma^2(F_0)+0.004 F_0 ^2]^{-1}$
Kristallgrösse	$0.11 \times 0.377 \times 0.522 \text{ mm}$
$\mu(\text{Mo-}K_{\alpha})$	18.1 cm ⁻¹
Transmissionsfaktoren	0.5188-0.8120

TABELLE 5
LAGEPARAMETER UND ISOTROPE TEMPERATURPARAMETER DER NICHT-H-ATOME VON IIIa

Atom	x	у	Z	U'' .
Fe(1)	0.63460(6)	0.25924(3)	-0.01356(2)	0.0378(3)
Fe(2)	0.91903(6)	0.32096(3)	0.04931(3)	0.0398(3)
Fe(3)	0.87081(6)	0.15208(3)	0.04137(3)	0.0414(3)
P(1)	0.7181(1)	0.30915(5)	0.09809(4)	0.0347(4)
P(2)	0.8047(1)	0.14354(6)	0.15330(5)	0.0402(5)
H(1)	0.971(5)	0.226(3)	0.083(2)	0.07(1)
C(1)	0.4723(5)	0.2024(2)	-0.0003(2)	0.046(2)
O(1)	0.3667(4)	0.1685(2)	0.0091(2)	0.081(2)
C(2)	0.5261(5)	0.3480(3)	-0.0480(2)	0.055(2)
O(2)	0.4530(5)	0.4030(2)	-0.0726(2)	0.087(3)
C(3)	0.6382(6)	0.2293(3)	-0.1062(2)	0.068(3)
O(3)	0.6276(6)	0.2125(3)	-0.1672(2)	0.122(4)
C(4)	0.8486(5)	0.4145(3)	0.0064(3)	0.068(3)
O(4)	0.8103(5)	0.4762(2)	-0.0203(2)	0.105(3)
C(5)	1.0589(5)	0.3149(2)	-0.0071(2)	0.049(2)
O(5)	1.1546(4)	0.3159(2)	-0.0381(2)	0.076(2).
C(6)	1.0470(5)	0.3589(3)	0.1308(2)	0.060(3)
O(6)	1.1281(5)	0.3838(3)	0.1837(2)	0.097(3)
C(7)	0.7197(5)	0.0843(2)	-0.0028(2)	0.048(2)
O(7)	0.6322(4)	0.0366(2)	-0.0316(2)	0.064(2)
C(8)	1.0250(5)	0.0827(3)	0.0754(2)	0.063(3)
O(8)	1.1209(5)	0.0358(2)	0.0959(2)	0.100(3)
C(9)	0.9294(6)	0.1620(3)	-0.0442(3)	0.073(3)
O(9)	0.9692(5)	0.1608(3)	-0.0986(2)	0.111(3)
C(10)	0.7398(5)	0.2420(2)	0.1792(2)	0.046(2)
C(11)	0.6273(5)	0.4011(2)	0.1262(2)	0.049(2)
C(12)	0.7308(6)	0.4417(3)	0.1951(2)	0.070(3)
C(13)	0.4673(5)	0.3842(3)	0.1371(2)	0.067(3)
C(14)	0.6456(5)	0.0692(2)	0.1517(2)	0.057(3)
C(15)	0.7084(7)	-0.0177(3)	0.1544(3)	0.083(4)
C(16)	0.5408(8)	0.0835(4)	0.2061(3)	0.108(5)
C(17)	0.9645(6)	0.1150(3)	0.2340(2)	0.060(3)
C(18)	1.1022(6)	0.1724(3)	0.2433(3)	0.079(3)
C(19)	0.9157(7)	0.1061(3)	0.3070(2)	0.083(4)

^a $U_{\text{eq}} = \frac{1}{3} \sum_{i} \sum_{j} a_{i}^{*} a_{j}^{*} \bar{a}_{i} \bar{a}_{j}$.

Im Gegensatz zum äquatorialen C(8)-Atom wurde C(6) durch die Bildung der Fe(1)-P(1)-Fe(2)-Brücke aus der Fe₃-Ebene ausgelenkt. Der Winkel zwischen den Ebenen Fe(1), Fe(2), Fe(3) und Fe(1), Fe(2), P(1) beträgt $100.3(1)^{\circ}$. Die Fe(1)-Fe(2)-und Fe-P(1)-Abstände in IIIa sind vergleichbar mit denen von $[Fe(CO)_3(\mu_2-PMe_2)]_2$

TABELLE 6
ATOMPARAMETER DER H-ATOME VON IIIa

Atom	x	y	z	$oldsymbol{U}$
H(10A)	0.6428(5)	0.2364(2)	0.1920(2)	0.062(8)
H(10B)	0.8147(5)	0.2639(2)	0.2204(2)	0.062(8)
H(11A)	0.6164(5)	0.4380(2)	0.0857(2)	0.06(1)
H(12A)	0.8311(6)	0.4522(3)	0.1873(2)	0.077(8)
H(12B)	0.7403(6)	0.4063(3)	0.2366(2)	0.077(8)
H(12C)	0.6846(6)	0.4916(3)	0.2046(2)	0.077(8)
H(13A)	0.4044(5)	0.3593(3)	0.0938(2)	0.081(8)
H(13B)	0.4207(5)	0.4340(3)	0.1465(2)	0.081(8)
H(13C)	0.4764(5)	0.3487(3)	0.1785(2)	0.081(8)
H(14A)	0.5750(5)	0.0774(2)	0.1046(2)	0.05(1)
H(15A)	0.7708(7)	-0.0240(3)	0.1198(3)	0.13(1)
H(15B)	0.6227(7)	-0.0543(3)	0.1421(3)	0.13(1)
H(15C)	0.7690(7)	-0.0294(3)	0.2032(3)	0.13(1)
H(16A)	0.5069(8)	0.1387(4)	0.2019(3)	0.13(1)
H(16B)	0.5993(8)	0.0733(4)	0.2555(3)	0.13(1)
H(16C)	0.4529(8)	0.0483(4)	0.1945(3)	0.13(1)
H(17A)	0.9971(6)	0.0618(3)	0.2243(2)	0.07(1)
H(18A)	1.1295(6)	0.1760(3)	0.1969(3)	0.081(8)
H(18B)	1.1886(6)	0.1526(3)	0.2802(3)	0.081(8)
H(18C)	1.0738(6)	0.2249(3)	0.2573(3)	0.081(8)
H(19A)	0.8303(7)	0.0694(3)	0.2997(2)	0.09(1)
H(19B)	0.8851(7)	0.1578(3)	0.3218(2)	0.09(1)
H(19C)	0.9999(7)	0.0855(3)	0.3447(2)	0.09(1)

von 2.665(2) bzw. 2.209(2) Å [23], obwohl ein μ -P gegen einen μ -FeH-Brückenkopf ausgetauscht wurde.

Das P-C-P-Skelett ist offensichtlich spannungsfrei an die Fe₃-Einheit gebunden, wie der Valenzwinkel P(1)-C(10)-P(2) von 107.0(2)° sowie die beiden P-C-Abstände zeigen. Sie liegen im typischen Erwartungsbereich für P-C-Bindungslängen in zu IIIa vergleichbaren Strukturen [24].

Der Fe(3)-P(2)-Abstand ist mit 2.293(1) Å länger als die Fe-P-Abstände in [Fe(CO)₃(PPhMe₂)]₃ (2.237(5) Å) [25] und Fe₃(CO)₁₁(PPh₃) (2.25(1) Å) [26], in denen sich, im Gegensatz zu IIIa, die P-Atome in *trans*-Stellung zu Fe-Fe-Bindungen befinden. Der P(2)-Fe(3)-Abstand ist möglicherweise durch die Wechselwirkung der sperrigen (i-Pr)₂P-Gruppe mit benachbarten CO-Gruppen aufgeweitet.

Die Fe-C-Abstände (1.798(10) Å) in trans-Position zu P(1) und P(2) sind etwas länger als die übrigen Fe-C-Bindungen (1.772(6) Å).

Ersetzt man den Fe(2)-Fe(3)-Vektor durch die gewinkelte Fe(2)-H(1)-Fe(3)-Brücke, so ergibt sich eine nahezu oktaedrische Koordinationsgeometrie an Fe(3). Die Wechselwirkung in der Fe(2)-H(1)-Fe(3)-Einheit wird durch eine lokalisierte Dreizentren-Zweielektronenbindung [27], wie etwa im isoelektronischen Os₃-(CO)₁₀(Ph₃P)(H)₂ (D) [28] oder Os₃(CO)₁₁(H)₂ [29] beschrieben.

Berechnungen der Mulliken-Überlappungspopulation in der Fe-Fe- und Fe-(μ -H)-Bindung von Fe₃-Clustern mit μ -H-Brücken nach Fenske und Hall [30] stützen diese Modellvorstellung. So findet man z.B. für das Fe₃(CO)₉(CCH₃)(H)₃ [31] in der

TABELLE 7 BINDUNGSLÄNGEN (Å) IN IIIa

Fe(1)-Fe(2)	2.6994(7)	P(1)-C(10)	1.835(3)
Fe(1)-Fe(3)	2.7300(7)	P(1)-C(11)	1.842(4)
Fe(2)-Fe(3)	2.7993(7)	P(2) - C(10)	1.816(4)
	. ,	P(2)-C(14)	1.858(5)
Fe(1)-P(1)	2.1779(8)	P(2)-C(17)	1.849(4)
Fe(2)-P(1)	2.194(1)		` '
Fe(3)-P(2)	2.293(1)	C(11)-C(12)	1.530(6)
		C(11)-C(13)	1.506(6)
Fe(2)-H(1)	1.70(5)	C(14)-C(15)	1.525(6)
Fe(3)-H(1)	1.59(5)	C(14)-C(16)	1.547(8)
		C(17)-C(18)	1.516(7)
Fe(1)-C(1)	1.780(4)	C(17)-C(19)	1.524(6)
Fe(1)-C(2)	1.773(4)		
Fe(1)-C(3)	1.792(5)		
Fe(2)-C(4)	1.768(5)		
Fe(2)-C(5)	1.810(4)		
Fe(2)-C(6)	1.763(5)		
Fe(3)-C(7)	1.777(4)		
Fe(3)-C(8)	1.770(5)		
Fe(3)-C(9)	1.793(5)		
C(1)-O(1)	1.137(6)		
C(2)-O(2)	1.139(6)		
C(3)-O(3)	1.145(6)		
C(4)-O(4)	1.141(6)		
C(5)-O(5)	1.134(5)		
C(6)-O(6)	1.138(6)		
C(7)-O(7)	1.137(5)		
C(8)-O(8)	1.140(6)		
C(9)-O(9)	1.145(7)		

der Fe- $(\mu$ -H)-Bindung eine erheblich grössere Überlappungspopulation als im Bereich des Fe-Fe-Vektors.

$$(CO)_3$$
 $(EO)_3$ $(EO)_4$ $(EO)_3$ $(EO)_3$ $(EO)_4$ $(EO)_3$ $(EO)_4$ $(EO)_3$ $(EO)_4$ $(EO)_3$ $(EO)_4$ $(EO)_5$ $($

In Übereinstimmung damit weisen Ne(I)-, He(I)- und He(II)-photoelektronenspektroskopische Untersuchungen an Fe₃(CO)₉(CCH₃)(H₃) auf einen deutlichen s-Charakter des M-H-M-Teilgerüstes hin [32].

Clusterbildung unter Spaltung des P-C-P-Skeletts

Beim Erhitzen in n-Octanlösung auf ca. $80-100^{\circ}$ C lagern sich die Cluster IIIa und IIIb unter Spaltung des P-C-P-Skeletts in die μ_3 -PR-verbrückten Cluster IVa und IVb um.

Diese Reaktion entspricht vom Ergebnis her der in Gl. 1a formulierten 1,2-Verschiebung des phosphorständigen Wasserstoffs unter P-C-Spaltung. Sie erfolgt jedoch erst nach "Aktivierung" des Wasserstoffs der PH-Bindung durch oxidative Addition an Eisen(0) in den Clustern IIIa, IIIb und IIIc.

Liganden des Typs R_2PCH_2PRH fungieren im Sinne der Zerfallsreaktion $R_2PCH_2PRH \rightarrow R_2PCH_3 + \langle RP \rangle$ (9)

als Phosphinidenquellen. Der hohe Energieinhalt des reaktiven $\langle RP \rangle$ -Fragments wird durch die Bildungswärme des stabilen Phosphans und des Fe $_3$ P-Clusters kompensiert.

Die Spaltung des P-C-P-Systems in Methylenbisphosphanen kann jedoch nicht nur unter dem Einfluss des elektronenziehenden Clustersystems erfolgen. Wie Prishchenko, Novikova und Lutsenko [33] zeigten, gelingt dies auch durch starke Protonensäuren, z.B. HCl.

$$Ph_{2}PCH_{2}PCl_{2} \xrightarrow{HCl} Ph_{2}PCH_{3} + PCl_{3}$$
(10)

Bei längerer Reaktionsdauer wird der Phosphanligand in IVa bzw. IVb durch CO substituiert. Es bildet sich der Cluster Va bzw. Vb. Das abgelöste Phosphan R₂PCH₃ wird durch überschüssiges Fe₂(CO)₉ als Fe(CO)₄(R₂PCH₃) (VIIIa, VIIIb) komplex gebunden.

Ein zu Va bzw. Vb isoelektronischer Cluster, FeCo₂(CO)₉(PPh), wurde von Burt und Schmid [34] und Richter, Beurich und Vahrenkamp [35] beschrieben. Er ist durch oxidative Addition von Co₂(CO)₈ an Fe(CO)₄(PPhH₂) in ca. 30%-iger

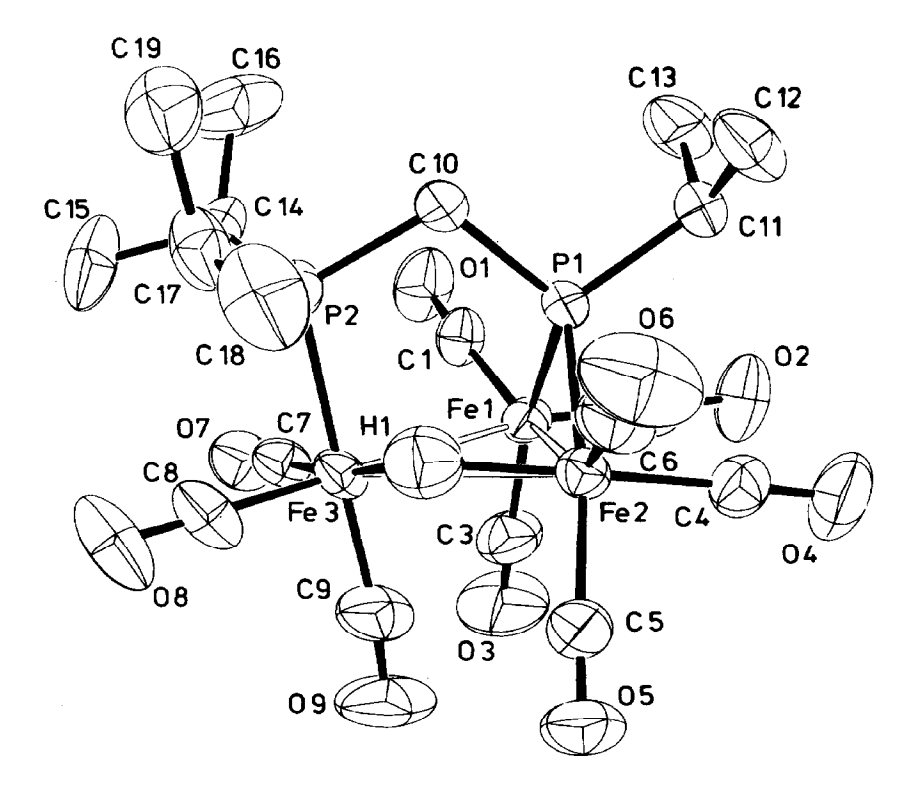


Fig. 1. Struktur von IIIa.

TABELLE 8
BINDUNGSWINKEL (°) IN IIIa

Fe(2)-Fe(1)-Fe(3)	62,07(2)	Fe(1)-Fe(2)-Fe(3)	59.50(2)
Fe(2)-Fe(1)-P(1)	52.13(3)	Fe(1)-Fe(2)-P(1)	51.60(2)
Fe(2)-Fe(1)-C(1)	146.7(1)	Fe(1)-Fe(2)-H(1)	87(2)
Fe(2)-Fe(1)-C(2)	102.3(1)	Fe(1)-Fe(2)-C(4)	86.6(2)
Fe(2)-Fe(1)-C(3)	106.3(2)	Fe(1)-Fe(2)-C(5)	115.4(1)
Fe(3)-Fe(1)-P(1)	80.63(3)	Fe(1)-Fe(2)-C(6)	146.8(2)
Fe(3)-Fe(1)-C(1)	100.5(1)	Fe(3)-Fe(2)-P(1)	78.79(3)
Fe(3)-Fe(1)-C(2)	163.7(1)	Fe(3)-Fe(2)-H(1)	30(1)
Fe(3)-Fe(1)-C(3)	89.3(2)	Fe(3)-Fe(2)-C(4)	143.2(2)
P(1)-Fe(1)-C(1)	99.3(1)	Fe(3)-Fe(2)-C(5)	91.9(1)
P(1)-Fe(1)-C(2)	93.5(1)	Fe(3)-Fe(2)-C(6)	116.8(1)
P(1)-Fe(1)-C(3)	158.5(2)	P(1)-Fe(2)-H(1)	86(2)
C(1)-Fe(1)-C(2)	95.4(2)	P(1)-Fe(2)-C(4)	91.7(2)
C(1)-Fe(1)-C(3)	101.2(2)	P(1)-Fe(2)-C(5)	166.7(1)
C(2)-Fe(1)-C(3)	90.9(2)	P(1)-Fe(2)-C(6)	95.4(2)
		H(1)-Fe(2)-C(4)	174(1)
Fe(1) - Fe(3) - Fe(2)	58.43(2)	H(1)-Fe(2)-C(5)	90(2)
Fe(1)-Fe(3)-P(2)	91.94(3)	H(1)-Fe(2)-C(6)	87(1)
Fe(1)-Fe(3)-H(1)	89(2)	C(4)-Fe(2)-C(5)	90.2(2)
Fe(1)-Fe(3)-C(7)	79(1)	C(4)-Fe(2)-C(6)	99.3(2)
Fe(1)-Fe(3)-C(8)	178.9(1)	C(5)-Fe(2)-C(6)	97.3(2)
Fe(1)-Fe(3)-C(9)	88.5(2)		
Fe(2)-Fe(3)-P(2)	94.73(3)	Fe(1)-P(1)-Fe(2)	76.26(3)
Fe(2)-Fe(3)-H(1)	33(2)	Fe(1)-P(1)-C(10)	119.7(1)
Fe(2)-Fe(3)-C(7)	136.9(1)	Fe(1)-P(1)-C(11)	120.4(1)
Fe(2)-Fe(3)-C(8)	121.4(2)	Fe(2)-P(1)-C(10)	117.3(1)
Fe(2)-Fe(3)-C(9)	83.3(2)	Fe(2)-P(1)-C(11)	119.9(1)
P(2)-Fe(3)-H(1)	80.8(1)	C(10)-P(1)-C(11)	103.0(2)
P(2)-Fe(3)-C(7)	92.7(1)		
P(2)-Fe(3)-C(8)	89.1(1)	Fe(3)-P(2)-C(10)	110.7(1)
P(2)-Fe(3)-C(9)	177.4(2)	Fe(3)-P(2)-C(14)	112.7(1)
H(1)-Fe(3)-C(7)	116(2)	Fe(3)-P(2)-C(17)	115.6(2)
H(1)-Fe(3)-C(8)	91(2)	C(10)-P(2)-C(14)	107.4(2)
H(1)-Fe(3)-C(9)	97(1)	C(10)-P(2)-C(17)	103.9(2)
C(7)-Fe(3)-C(8)	100.9(2)	C(14)-P(2)-C(17)	105.9(2)
C(7)-Fe(3)-C(9)	89.9(2)	Fe(2)-H(1)-Fe(3)	117(3)
C(8)-Fe(3)-C(9)	90.4(2)		
		P(1)-C(10)-P(2)	107.0(2)
P(1)-C(11)-C(12)	112.2(3)	P(2)-C(14)-C(15)	110.1(4)
P(1)-C(11)-C(13)	112.3(3)	P(2)-C(14)-C(16)	117.6(3)
C(12)-C(11)-C(13)	111.0(4)	C(15)-C(14)-C(16)	113.1(4)
P(2)-C(17)-C(18)	111.7(3)		
P(2)-C(17)-C(19)	114.6(4)		
C(18)-C(17)-C(19)	110.8(4)		

Ausbeute unter Abspaltung von H_2 zugänglich. Die Bildung der Cluster Va bzw. Vb aus Ia bzw. Ib und überschüssigem $Fe_2(CO)_9$ verläuft über die Zwischenstufen IIa, b, IIIa, b und IVa, b, die sich unter geeigneten Reaktionsbedingungen in guten Ausbeuten isolieren lassen.

Weniger übersichtlich ist dagegen der Ablauf der Umsetzung von Ia und Ib mit Fe₂(CO)₉ im molaren Verhältnis von 1/2. Unter verschärften Bedingungen erfolgt

auch hier Spaltung des P-C-P-Gerüstes in Ia bzw. Ib. Man erhält die Hydridocluster VIa bzw. VIb. Als Nebenprodukte werden die Cluster VIIa bzw. VIIb [17] und die Eisencarbonylkomplexe VIIIa bzw. VIIIb gebildet.

Substituierte und unsubstituierte Clusterhydride des Typs VIa bzw. VIb, $RPM_3(CO)_9(H)_2$ ($R = Ph, p-C_6H_4OCH_3$, C_6H_{11} , t-Bu; M = Fe, Ru), $RPM_3(CO)_8-L(H)_2$ ($L = PPhH_2$; R = Ph; M = Ru, Os) sind in mässigen bis befriedigenden Ausbeuten auch durch Umsetzung primärer Phosphane mit den dreikernigen Carbonylen $M_3(CO)_{12}$ des Fe, Ru und Os zugänglich [5,14,36].

Der Bruch des P-C-P-Skeletts beim Übergang von IIIa nach IVa wird im ¹³C{¹H}-NMR-Spektrum durch das Verschwinden des Signals der CH₂-Brücke von IIIa bei 37.9 ppm (Dublett von Dubletts) angezeigt. Das Dublett bei 5.9 ppm im ¹³C{¹H}-NMR-Spektrum von IVa ordnen wir der P(Me)-Gruppe des Liganden P(i-Pr)₂Me zu.

Mit der Bildung von IVa und IVb aus IIIa und IIIb ändern sich die ${}^{31}P\{{}^{1}H\}$ -NMR-Parameter in charakteristischer Weise (Tab. 2). Die stark tieffeldverschobenen Signale im AX-Spektrum von IVa und IVb liegen im Bereich der für μ_3 -PR-Gruppierungen typischen chemischen Verschiebung [36], während die an das Fe₃P-Gerüst koordinierten Phosphanliganden PR₂Me (R = i-Pr, CH₂Ph) δ (P)-Werte von ca. 50 (i-Pr) bzw. ca. 40 ppm (CH₂Ph) aufweisen.

Die Äquivalenz der CH₃-Gruppen in den μ_3 -P(i-Pr)-Brücken in IVa und Va lässt sich mit dem Vorliegen einer molekularen Spiegelebene oder einem raschen Platzwechsel von terminal und brückenartig gebundenen CO-Liganden, H und (i-Pr)₂ PMe interpretieren. Für ein dynamisches Verhalten von IVa und Va spricht die Beobachtung nur eines Signals für die CO-Gruppen. Die Kopplung 13 C- 31 P(B) bewirkt eine Dublettaufspaltung im Falle von Va (2 J(P(B)-C) 1.0 Hz). CO-Valenzschwingungsbanden im IR-Spektrum bei 1838, 1868, 1866 und 1870 cm⁻¹ belegen für IVa, IVb, Va und Vb die vorgeschlagenen Strukturen mit brückenartig gebundenen CO-Liganden.

Die Methylgruppen der Isopropylreste des tertiären Phosphans $P(i-Pr)_2$ Me in IVa und VIa sind durch den Pseudoasymmetrieeffekt diastereotop. Man erhält im 1 H-NMR-Spektrum jeweils zwei Dubletts von Dubletts. Im $^{13}C\{^1H\}$ -NMR-Spektrum von IVa bzw. VIa werden zwei Signale beobachtet. Die Kopplung $^{13}C-^{31}P(A)$ führt im Falle von VIa zur Dublettfeinstruktur ($^2J(P(A)-C)$ 1.0, 2.2 Hz) beider Signale.

Die beiden Hydridliganden in VIa geben im 1H -NMR-Spektrum nur ein Signal, das durch Spin-Spin-Wechselwirkung 1H - $^{31}P(A)$ und 1H - $^{31}P(B)$ in Dubletts von Dubletts aufgespalten ist. Abkühlung auf -90° C führt zu keiner Änderung des Spektrums.

Für die CO-Gruppen von VIa werden im ¹³C{¹H}-NMR-Spektrum ein etwas verbreitertes Singulett sowie ein Dublett von Dubletts mit den relativen Intensitäten von ca. 6/2 beobachtet. Das Signal bei 212.5 ppm ordnen wir sechs CO-Gruppen zu, die einem raschen Austausch unterliegen, in dessen Verlauf sie das metallische Koordinationszentrum Fe(1) bzw. Fe(2) unter Einbeziehung der CO-verbrückten Struktur (E) wechseln. Durch Kopplung mit den beiden chemisch nicht äquivalenten P-Atomen sind die Signale für die CO-Gruppen an Fe(3) in ein Dublett von Dubletts aufgespalten. Die Äquivalenz der CH₃-Gruppen der P(i-Pr)-Gruppierung in VIa (Tab. 3) ist mit einer symmetrischen Struktur (F) bzw. einem raschen Positionswechsel der Liganden (CO, L) an Fe(3) vereinbar.

ANSÄTZE, AUSBEUTEN UND ANALYTISCHE DATEN DER VERBINDUNGEN IIa-VIb TABELLE 9

	Ansätze g (mmol)	(lot	Ausbeute	Analyse (G	Analyse (Gef. (ber.) (%))		Summenformel a	Massenspektren	
	Phosphan	Fe ₂ (CO) ₉	g(%)	ပ	Н	Ъ	(Molmasse)	M^+ (m/e)	M^+ – CO
IIa	0.5 (2.41)	1.59		39.48	4.71	77700	C ₁₈ H ₂₄ Fe ₂ O ₈ P ₂		514
	Ia	(4.37)	f	(39.89)	(4.46)		(542.03)		
IIIa	0.69 (3.35)	7.30	0.85	36.51	3.88	9.78	C ₁₉ H ₂₄ Fe ₃ O ₉ P,	625.900	
	Ia	(20.07)	(41.0)	(36.46)	(3.87)	(68.6)	(625.894)		
III	0.80 (2.28)	4.98	98.0	47.92	3.18	7.96	C31 H24 Fe3 P2O9		742
	Il _p	(13.69)	(49.0)	(48.36)	(3.14)	(8.05)	(770.020)		
IIIc	0.64 (5.25)	11.45	1.86	27.94	2.23	10.68	C14H12Fe1P,O	541.797	
	Ic	(30.15)	(65.4)	(28.82)	(2.23)	(11.43)	(541.800)		
IVa	0.97 (4.70)	10.3	2.20	36.86	3.89	9.94	C ₁₉ H ₂₄ Fe ₃ O ₃ P,	625.890	
	Ia	(28.22)	(75.0)	(36.46)	(3.87)	(68.6)	(625.894)		
Va	1.06 (5.14)	11.20	1.30	30.27	1.54	5.61	$\mathrm{C_{13}H_7Fe_3O_{10}P}$	521.780	
	Ia	(30.8)	(49.0)	(29.92)	(1.35)	(5.94)	(521.782)		
Λþ	0.73 (2.08)	4.55	0.70	36.24	1.28	5.38	$C_{17}H_7Fe_3O_{10}P$	570	
	Ib	(12.5)	(59.0)	(35.84)	(1.24)	(5.44)	(569.754)		541.782
VIa	1.46 (7.08)	5.15	6.0	36.34	4.32	10.30	$C_{18}H_{26}Fe_3O_8P_2$	599.910	
	Ia	(14.2)	(22.0)	(36.04)	(4.37)	(10.33)	(599.915)		
VIb	1.12 (3.20)	2.33	0.2				$\mathrm{C}_{30}\mathrm{H}_{26}\mathrm{Fe}_{3}\mathrm{O}_{8}\mathrm{P}_{2}$	744	659.926
	Ib	(6.39)	(8.4)				(743.96)		$(M^+ - 3CO)$

^a Berechnet für ⁵⁶Fe.

Experimenteller Teil

Alle Reaktionen wurden unter Stickstoff in frisch destillierten Lösungsmitteln durchgeführt. Zur Reinigung und Isolierung der Verbindungen wurden präparative Dünnschichtplatten der Fa. Merck (PSC Si 60, Schichtdicke 2 mm) bzw. Säulen (2 cm Durchmesser, 20 cm lang) mit Kieselgel Si 60 verwendet, Laufmittel n-Hexan bzw. Dichlormethan. Die IR-Spektren wurden in 0.5 mm NaCl-Küvetten an einem Spektralphotometer PE 580B der Fa. Perkin-Elmer erhalten. Zur Aufnahme der NMR-Spektren dienten die Geräte FT 80A und EM 390 der Fa. Varian Ass. Paolo Alto sowie WM 300 der Fa. Bruker Physik AG, Karlsruhe. Die Massenspektren wurden an MAT 311A der Fa. Varian registriert.

Darstellung von IIa

Die Lösung von $Fe_2(CO)_9$ in 20 ml Tetrahydrofuran wurde mit der in Tab. 9 angegebenen Menge an Ia versetzt und 6 d bei 20°C gerührt. Die chromatographische Aufarbeitung des Rohgemisches (Lobar-Fertigsäule der Fa. Merck, Si 60, 2.5×300 cm, Laufmittel Petrolether 40/60 und Dichlormethan im Mischungsverhältnis 70/30) lieferte IIa in reiner Form als orange farbene Kristalle.

Synthese von IIIa-IIIb

Die in Tab. 9 jeweils angegebenen Mengen der Liganden Ia-Ic wurden in ca. 100 ml n-Octan mit der sechsfach molaren Menge an Fe₂(CO)₉ innerhalb von 20-30 min auf 60-70°C erhitzt. Dabei färbten sich die Reaktionsmischungen intensiv violett. Zur Vermeidung der Weiterreaktion im Sinne von Gl. 5 wurde auf 20°C abgekühlt, von noch vorhandenem Fe₂(CO)₉ abgetrennt und auf 0°C abgekühlt. Dabei fielen IIIa-IIIc als violett gefärbte Kristalle an. Zur weiteren Reinigung kann aus Petrolether 40/60 umkristallisiert werden. Ansätze, Ausbeuten und analytische Daten siehe Tab. 9.

Darstellung von IVa, IVb, Va und Vb

Die in Tab. 9 aufgeführten Mengen an Ia bzw. Ib wurden mit Fe₂(CO)₉ (stöchiometrisches Verhältnis 1/6) in 100 ml n-Octan 3 h auf 75°C erhitzt. Nach Abzentrifugieren von ungelösten Bestandteilen und Abkühlen der Reaktionsmischung auf 0°C fielen IVa und IVb in Form rotbrauner Kristalle an, die mit 20 ml

gekühltem (-20°C) Petrolether 40/60 gewaschen und im Stickstoffstrom getrocknet wurden.

Zur Darstellung von Va und Vb wurde bei gleichem stöchiometrischen Verhältnis Phosphan (Ia, Ib): Fe₂(CO)₉ die Umsetzung in 100 ml n-Octan bei erhöhter Temperatur (90–100°C) durchgeführt und die Reaktionsdauer verlängert (1–2 d). Nach Einengen der Reaktionslösung auf ca. 20 ml und Abkühlen auf 0°C fiel Va in Form braun gefärbter Kristalle an. Sie wurden mit 20 ml Petrolether 40/60 gewaschen und im N₂-Strom getrocknet. Die Mutterlauge enthielt neben Va den Eisencarbonylkomplex VIIIa, der ³¹P{¹H}- und ¹³C{¹H}-NMR-spektroskopisch identifiziert wurde (Tab. 3). Das Reaktionsgemisch der Umsetzung von Ib mit Fe₂(CO)₉ wurde an einer Kieselgelsäule (Si 60, 2 cm Durchmesser, 15 cm lang, Laufmittel Petrolether und CH₂Cl₂ 80/20) getrennt. Die erste Fraktion wurde auf 0°C abgekühlt. Dabei fiel Vb in Form langer braun gefärbter Nadeln an. Die Mutterlauge enthielt VIIIb. Es wurde anhand seiner ³¹P{¹H}- und ¹H-NMR-spektroskopischen Daten charakterisiert.

Darstellung von VIa und VIb

Die Phosphane Ia bzw. Ib wurden in 120 ml n-Octan mit der doppelt molaren Menge an $Fe_2(CO)_9$ zur Reaktion gebracht. Die Reaktionstemperatur wurde im Verlauf von mehreren Tagen (5–7) auf 130°C gesteigert. Zur Isolierung von VIa wurde die Reaktionsmischung anschliessend auf 30 ml eingeengt und chromatographisch aufgearbeitet (Kieselgel Si60-Säule, 20×150 mm, Laufmittel Petrolether 40/60). Die erste der beiden Fraktionen enthielt ein Gemisch aus $Fe(CO)_4(P-(i-Pr)_2Me)$ (VIIIa) und $Fe_3(CO)_9(\mu_3-P(i-Pr))_2$ (VIIa), die zweite VIa. Es liess sich nach Abziehen des Lösungsmittels durch Umkristallisieren aus Petrolether 40/60 bei -20°C in reiner Form gewinnen. Die Auftrennung der in der ersten Fraktion vorhandenen Verbindungen VIIa und VIIIa gelang durch "Flash"-Chromatographie (2.5 × 80 cm Polyethylenschlauch, Kieselgel Si60 der Fa. Woelm, Laufmittel Petrolether 40/60). VIIa wurde in Form roter Kristalle, VIIIa als gelber Festkörper erhalten.

Zur Isolierung von VIb, VIIb und VIIIb wurde das auf 40 ml eingeengte Reaktionsgemisch durch Chromatographie an einer Kieselgelsäule (Si 60, 2×20 cm, Laufmittel Petrolether 40/60 und CH_2Cl_2 im Verhältnis 80/20) in zwei Fraktionen getrennt. Die erste enthielt ein Gemisch aus VIIb und VIIIb, die zweite VIb. Durch erneute Chromatographie an präparativen Dünnschichtplatten (Si 60, 2 mm Schichtdicke, Fa. Merck) gelang es, die Komponenten in reiner Form darzustellen.

VIa und VIb fallen nach chromatographischer Reinigung als kristalline rote Festkörper an. VIIa, VIIb [17] sowie VIIIa und VIIIb wurden ¹³C{¹H}- und ³¹P{¹H}-NMR-spektroskopisch sowie durch ihre Massenspektren charakterisiert (Tab. 3).

Röntgenstrukturanalyse von IIIa

Kristalle von IIIa wurden in Mark-Röhrchen unter N_2 eingeschmolzen. Die Raumgruppe wurde mit Hilfe von Weissenbergaufnahmen bestimmt und die endgültigen Gitterkonstanten (Tab. 4) wurden mit einem Siemens AED-1-Diffraktometer unter Verwendung Zr-filtrierter Mo- K_{α} -Strahlung ermittelt. Die Intensitäten wurden nach dem $\omega-2\theta$ -Verfahren gesammelt, wobei die Anzahl der zur vollständigen Erfassung der Peaks erforderlichen Messschritte so gewählt wurde,

dass die Peakbreite 2/3 der Scanbreite betrug. Reflexe mit einer Intensität zwischen 2 und $2.5\sigma(I)$ wurden erneut vermessen. Die Schwankung der Intensitäten der drei Standardreflexe betrug weniger als $\pm 0.6\%$.

Die Lagen der Fe- und P-Atome wurden mit direkten Methoden ermittelt, die Koordinaten der übrigen Atome mit einer Fourier-Synthese. Nach Absorptionskorrektur wurde die Struktur nach der Methode der kleinsten Quadrate unter Verwendung dispersions-korrigierter Streufaktoren [37] und empirischer Gewichtung w verfeinert.

Nach Einführung der anisotropen Schwingungsellipsoide für alle Atome konnten die Lagen der an Kohlenstoff gebundenen Wasserstoffatome in einer Differenz-Fourier-Synthese bestimmt werden. Anschliessend wurden die CH₃-Gruppen als starre Gruppen (C-H 0.95 Å, H-C-H und H-C-C 109.5°) mit jeweils gemeinsamem, isotropem Temperaturfaktor für die H-Atome verfeinert. Die Differenzsynthese ergab als Peak grösster Dichte (0.46 e/ų) die Position des Brückenwasserstoffs, die dann isotrop verfeinert wurde. Die Verfeinerung konvergierte ($|\Delta/\sigma|_{\text{max}} = 0.08$) mit $R = \sum ||F_0| - |F_c||/\sum |F_0| = 0.034$ und $R_w = [\sum w||F_0| - |F_c||^2/\sum w|F_0|^2]^{1/2} = 0.041$ für die in der Verfeinerung verwendeten Reflexe mit $|F_0| \ge 4\sigma(|F_0|)$ und 0.051 und 0.044 für alle Daten [38]. Die endgültige Differenz-Synthese wies Dichten zwischen 0.39 und -0.27 e/ų auf und bestätigte damit die gefundene Struktur. Atomkoordinaten sind in Tab. 5 und 6 aufgeführt, die Nummerierung ist in Fig. 1 definiert. Bindungsabstände und Bindungswinkel sind in Tab. 7 und 8 wiedergegeben [39].

Dank

Der Deutschen Forschungsgemeinschaft und dem Fonds der Chemischen Industrie gilt unser Dank für finanzielle Unterstützung dieser Arbeit. Herrn Prof. Dr. H. Harnisch, und Herrn Dr. K. Gehrmann, Hoechst AG, und Herrn Prof. Dr. H. Hoffmann, Bayer AG, sei für die kostenlose Überlassung von Chemikalien gedankt. Herrn Dr. J. Hahn, Institut für Anorganische Chemie, Universität Köln, gilt unser Dank für die Aufnahme von ¹³C-NMR-Spektren.

Literatur

- 1 D.J. Brauer, S. Hietkamp, H. Sommer und O. Stelzer, Angew. Chem., 96 (1984) 696.
- 2 R.J. Puddephatt, Chem. Soc. Rev., 12 (1983) 99.
- 3 B.E. Hanson, P.E. Fanwick und J.S. Mancini, Inorg. Chem., 21 (1982) 3811.
- 4 G. Lavigne und J.J. Bonnet, Inorg. Chem., 20 (1981) 2713.
- 5 P.M. Treichel, W.K. Dean und W.M. Douglas, Inorg. Chem., 11 (1972) 1609; F. Iwasaki, M.J. Mays, P.R. Raithby, P.L. Taylor und P.J. Wheatly, J. Organomet. Chem., 213 (1981) 185.
- 6 H.R. Hays und T.J. Logan, J. Org. Chem., 31 (1966) 3391; H. Weichmann, B. Ochsler, I. Duchek und A. Tzschach, J. Organomet. Chem., 182 (1979) 465.
- 7 Z.S. Novikova, A.A. Prishchenko und I.F. Lutsenko, Zh. Obshch. Khim., 47 (1977) 775.
- 8 S. Hietkamp, H. Sommer und O. Stelzer, Chem. Ber., im Druck.
- 9 P.A. Wegener, L.E. Evans und J. Haddock, Inorg. Chem., 14 (1975) 192.
- 10 F.A. Cotton und J.M. Troup, J. Am. Chem. Soc., 96 (1974) 4422.
- 11 S. Hietkamp, H. Sommer und O. Stelzer, unveröffentliche Ergebnisse.
- 12 H. Vahrenkamp und D. Wolters, J. Organomet. Chem., 224 (1982) C17.
- 13 G. Huttner, J. Schneider, G. Mohr und J. von Seyerl, J. Organomet. Chem., 191 (1980) 161,
- 14 K. Natarajan, L. Zsolnai und G. Huttner, J. Organomet. Chem., 220 (1981) 365.

- 15 W.S. Sheldrick, S. Morton und O. Stelzer, Z. Anorg. Allg. Chem., 475 (1981) 232; S.A. MacLaughlin, N.J. Taylor und A.J. Carty, Inorg. Chem., 22 (1983) 1409; J. Schneider und G. Huttner, Chem. Ber., 116 (1983) 917.
- 16 W.B. Jennings, Chem. Rev., 75 (1975) 307.
- 17 S. Hietkamp, H. Sommer, O. Stelzer, C. Krüger und G. Müller, Veröffentlichung in Vorbereitung.
- 18 O. Stelzer, S. Hietkamp und H. Sommer, Phosphorus and Sulfur, 18 (1983) 279.
- 19 P.R. Raithby, in B.F.G. Johnson (Hrsg.), Transition Metal Clusters. Wiley, Chichester, New York, Brisbane, 1980, S. 5; R.G. Teller und R. Bau, Structure and Bonding, 44 (1981) 1; M.R. Churchill, B.G. DeBoer und F.J. Rotella, Inorg. Chem., 15 (1976) 1843.
- 20 F.A. Cotton und J.M. Troup, J. Am. Chem. Soc., 96 (1974) 4155.
- 21 R. Bau, B. Dou, R. Greatrex, R.J. Haines, R.A. Love und R.D. Wilson, Inorg. Chem., 14 (1975) 3021.
- 22 M.A. Andrews, G. van Buskirk. C.B. Knobler und H.D. Kaesz, J. Am. Chem. Soc., 101 (1979) 7245.
- 23 R.E. Ginsburg, R.K. Rothrock, R.G. Finke, J.P. Colman und L.F. Dahl, J. Am. Chem. Soc., 101 (1979) 6550; W. Clegg, Inorg. Chem., 15 (1976) 1609.
- 24 H. Vahrenkamp, J. Organomet. Chem., 63 (1973) 399; E. Keller und H. Vahrenkamp, Chem. Ber., 114 (1981) 1124.
- 25 D.J. Dahm und R.A. Jacobson, J. Am. Chem. Soc., 90 (1968) 5106.
- 26 G. Raper und W.S. McDonald, J. Chem. Soc. (A), (1971) 3430.
- 27 R. Bau, R.G. Teller, S.W. Kirtley und T.F. Koetzler, Acc. Chem. Res., 12 (1979) 176; J.C. Green, D.M.P. Mingos und E.A. Seddon, J. Organomet. Chem., 185 (1980) C20.
- 28 M.R. Churchill und B.G. DeBoer, Inorg. Chem., 16 (1977) 2397; J.B. Keister und J.G. Shapley, Inorg. Chem., 21 (1982) 3304.
- 29 M.R. Churchill und B.G. DeBoer, Inorg. Chem., 16 (1977) 878.
- 30 M.B. Hall und R.F. Fenske, Inorg. Chem., 11 (1972) 768; R. Fenske, Pure Appl. Chem., 27 (1971) 61.
- 31 K.S. Wong, K.J. Haller, T.K. Dutta, D.M. Chipman und T.P. Fehlner, Inorg. Chem., 21 (1982) 3197.
- 32 R.L. DeKock, K.S. Wong und T.P. Fehlner, Inorg. Chem., 21 (1982) 3203.
- 33 A.A. Prishchenko, Z.S. Novikova und I.F. Lutsenko, Zh. Obshch. Khim., 50 (1980) 687.
- 34 J.C. Burt und G. Schmid, J. Chem. Soc. Dalton Trans., (1978) 1385.
- 35 F. Richter, H. Beurich und H. Vahrenkamp, J. Organomet. Chem., 166 (1979) C5.
- 36 J.S. Field, R.J. Haines und D.N. Smit, J. Organomet. Chem., 224 (1982) C49; K. Natarajan, O. Scheidsteger und G. Huttner, J. Organomet. Chem., 221 (1981) 301.
- 37 International Tables for X-ray Crystallography, Bd. IV, The Kynoch Press, Birmingham, 1974, Tab. 2.2B und 2.3.1.
- 38 Weitere Einzelheiten zur Kristallstrukturuntersuchung können beim Fachinformationszentrum Energie Physik Mathematik, D-7514 Eggenstein-Leopoldshafen 2, unter Angabe der Hinterlegungsnummer CSD 50842, der Autoren und des Zeitschriftenzitats angefordert werden.
- 39 Benutzte Rechenprogramme: SHELX-76, ORTEP-2, sowie eigene Programme.